

آنالیز انرژی و اگررژی سلول‌های فتوولتائیک-حرارتی با مدل‌سازی توسط نرم‌افزار TRANSYS و بررسی عوامل موثر بر آنها

ایلقار اطهری^۱، فرشاد ترابی^۲، احمد توسلی^۳

دانشگاه آزاد اسلامی - واحد علوم و تحقیقات تهران - دانشکده محیط زیست و انرژی انتهای بزرگراه اشرفی اصفهانی به سمت حصارک
elgar.athari@gmail.com

چکیده

عملکرد سلول‌های فتوولتائیک-حرارتی تحت تأثیر پارامترهای مختلفی از جمله دما است. همچنین برای ارزیابی عملکرد سلول فتوولتائیک-حرارتی، دانستن ضریب تلفات کلی که خود وابسته به شرایط آب و هوایی است ضروری است. در این تحقیق با مدل‌سازی یک سیستم فتوولتائیک-حرارتی با استفاده از نرم افزار TRANSYS رفتار دینامیکی دمای سیال خروجی از سلول فتوولتائیک-حرارتی، دمای سلول، بازده الکتریکی، بازده حرارتی تحلیل شده و عوامل موثر بر افزایش راندمان انرژی و اگررژی بررسی شد. نتایج حاصل از تعییرات دبی سیال نشان داد که حالت بهینه دبی سیال وقتی راندمان انرژی و اگررژی بیشترین مقدار خود

را دارد در $m = 0.01 \text{ kg/s}$ صورت می‌گیرد. همچنین با افزایش طول سلول فتوولتائیک-حرارتی راندمان انرژی کاهش وی راندمان اگررژی افزایش می‌یابد. که $L = 2m$ به عنوان طول بهینه در نظر گرفته شد. مدل‌سازی برای گرمترين روز سال و ماه نشان داد توان تولیدی سلول فتوولتائیک-حرارتی با شدت تابش خورشیدی رابطه مستقیم دارد. و نزدیک ظهر توان تولیدی به ۱۸۰ وات می‌رسد. راندمان سیستم‌های فتوولتائیک-حرارتی را به دو صورت انرژی و اگررژی مورد بررسی قرار گرفت. راندمان انرژی را حدود ۳۵ الی ۷۰ درصد و راندمان اگررژی را حدود ۱۱ الی ۱۳ درصد بدست آمد.

واژه‌های کلیدی: فتوولتائیک-حرارتی، موازنۀ انرژی، ضرایب انتقال حرارت، راندمان انرژی و اگررژی

۱-دانشجوی کارشناسی ارشد مهندسی سیستم‌های انرژی، دانشکده محیط زیست و انرژی، واحد علوم تحقیقات تهران،
دانشگاه آزاد اسلامی

۲-استادیار دانشکده مکانیک، دانشگاه خواجه‌نصیر طوسی

۳-دانشیار دانشکده محیط زیست و انرژی، واحد علوم تحقیقات تهران، دانشگاه آزاد اسلامی

۱- مقدمه

مطالعه سیستم‌های فتوولتائیک-حرارتی نشان می‌دهد که سیستم‌های فتوولتائیک توانایی تبدیل انرژی خورشیدی به الکتریسیته را با راندمانی در حدود ۵ الی ۲۰ درصد دارند یعنی پانل فتوولتائیک بخش کمی از تشعشع جذب شده را به انرژی الکتریکی تبدیل می‌کنند، مابقی آن به صورت حرارت تلف می‌شود. سیستم‌های فتوولتائیک-حرارتی این انرژی حرارتی را که باعث افزایش دمای پانل می‌شود و راندمان آن را کاهش می‌دهد احیا کرده و مورد استفاده قرار می‌دهند.

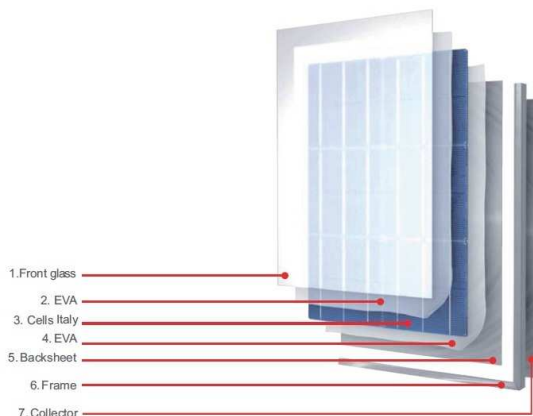
سیستم فتوولتائیک یک انتخاب مناسب برای کمک به کشورها به منظور کاهش انتشار گازهای گلخانه‌ای است. در سال‌های اخیر نصب سیستم‌های فتوولتائیک به طور متوسط در هر سال ۳۰٪ افزایش یافته است. دولتمردان ژاپنی انرژی خورشیدی را بخش مهمی از ترکیبات انرژی با هدف تولید ۱۰٪ الکتریسیته از سیستم‌های فتوولتائیک در سال ۲۰۳۰ قرار دادند^[۱]. کرن و همکاران در سال ۱۹۷۸ اولین کسانی بودند که با استفاده از نتایج آزمایشگاهی مفهوم اصلی سیستم‌های فتوولتائیک-حرارتی را که توسط دو سیال عامل آب و هوا عمل می‌کرد، ارائه نمودند. نتایج نشان داد که استفاده از سیال عامل آب باعث افزایش انتقال حرارت و در نتیجه افزایش راندمان حرارتی می‌شود. زیرا که خواص ترموفیزیکی آب از هوا بیشتر است ولی استفاده از هوا به دلیل هزینه‌های ساختاری کمتر رایج است^[۲]. بازیلیان و همکاران در سال ۲۰۰۲ یک مدل عددی برای سیستم‌های فتوولتائیک-حرارتی در حالت جابجایی آزاد ارائه کردند. جابجایی آزاد هوای پشت پنلهای PV که برای خنک‌کاری سیستم بکار می‌رفت، برای گرمایش محل مورد استفاده در ساختمان قرار می‌گرفت. این مدل که توسط نرم‌افزار EES مدل‌سازی شد توانایی استفاده از شرایط آب و هوا برای کارکرد سالانه سیستم بود^[۳]. جوشی و همکاران در سال ۲۰۰۷، راندمان سیستم‌های فتوولتائیک-حرارتی را به دو صورت انرژی و اگررژی مورد بررسی قرار دادند. آنان راندمان انرژی را حدود ۵۵ الی ۵۶ درصد و راندمان اگررژی را حدود ۱۲ الی ۱۵ درصد بیان کردند^[۴]. تنو و همکارانش در سال ۲۰۱۲ یک سیستم فتوولتائیک-حرارتی طراحی کردند و آن را مورد آزمایش قرار دادند برای خنک کردن فعال سلول‌های فتوولتائیک، یک آرایه‌ی موازی از کانال‌ها با منیفولد ورودی-خروجی جهت توزیع یکنواخت جریان‌ها، طراحی و در پشت پنل PV وصل کردند. آزمایشات را با و بدون خنک کردن فعال انجام دادند. یک روند خطی بین دمای سلول و بازده به دست آمد بدون خنک کردن فعال، دمای مازول بالا بود $C = 65^{\circ}$ و سلول خورشیدی تنها می‌توانست به بازده ۹٪ برسد اما زمانی که پنل فتوولتائیک در شرایط خنک کردن فعال کار می‌کرد دما به صورت چشمگیری $C = 65^{\circ}$ کاهش پیدا کرد و بازده سلول خورشیدی به ۱۴٪ افزایش یافت. در این بررسی یک مدل شبیه‌سازی انتقال حرارت برای مقایسه با پروفایل دمای واقعی فتوولتائیک ایجاد شد که بین شبیه‌سازی و آزمایش توافق خوبی دیده شد^[۵]. ری و همکاران در سال ۲۰۰۹ با استفاده از سلول‌های فتوولتائیک-حرارتی به تأمین برق و نیاز آبگرم مصرفی یک مجموعه آموزشی با روش f چارت پرداختند. ذخیره انرژی را برای ماههای مختلف سال بدست آوردند^[۶].

در این مقاله ابتدا با نوشتمن معادلات موازنۀ انرژی و ضرایب انتقال حرارت، ضریب تلفات کلی سلول بدست می‌اید. سپس با وارد کردن پارامترهای طراحی برای سلول‌های فتوولتائیک-حرارتی و مخزن ذخیره حرارت به نرم‌افزار TRNSYS به شبیه‌سازی دینامیکی دمای سیال خروجی از سلول، دمای سلول، راندمان الکتریکی و حرارتی برای گرم‌ترین ماه سال پرداخته و عوامل موثر بر کاهش یا افزایش راندمان انرژی و اگررژی مورد بحث قرار گیرد.

۲- مشخصات سلول فتوولتائیک-حرارتی

طراحی سیستم انرژی خورشیدی در ارتباط با بدست آوردن کمینه هزینه انرژی است. بنابراین طراحی کلکتور با بازدهی بالاتر نسبت به فن آوری موجود در صورتی که هزینه به طور اساسی کاهش یابد مطلوب به نظر می‌رسد. در هر صورت پیش‌بینی عملکرد سیستم خورشیدی ضروری بوده و هدف اصلی در این مقاله است.

در این بخش یک سیستم فتوولتائیک-حرارتی ساخت شرکت AnfaSolar شبیه‌سازی شده و نتایج حاصل از شبیه‌سازی جهت بدست آوردن دمای سیال خروجی در قالب نمودار بیان می‌شود. اجزای مختلف سیستم و کلیه ضرایب انتقال حرارت در مقطع عرضی ارائه شده در شکل (۱) نشان داده شده است. در این مدل سازی از یک پانل فتوولتائیک نوع سیلیکونی پلی کریستالی که توان اسمی برابر با ۲۳۰ وات را دارد، استفاده شده است.



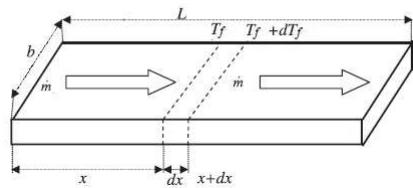
شکل (۱): اجزاء تشکیل دهنده سلول فتوولتائیک-حرارتی

پانل‌ها بخشی از تشعشع رسانیده را جذب می‌کنند که صرف تولید الکتریسیته و بالا رفتن دمای آنها می‌شود. تشعشع عبوری از پانل‌ها توسط کلکتور حرارتی جذب می‌شود. عبور سیال از میان پانل فتوولتائیک و کلکتور از بالا رفتن دمای پانل‌ها جلوگیری کرده و باعث افزایش راندمان الکتریکی پانل‌ها می‌شود. دمای هوای عبوری از کانال‌های سیستم بر اثر جذب حرارت پانل فتوولتائیک و کلکتور حرارتی، به واسطه انتقال حرارت جابجایی، افزایش می‌یابد. افزایش دمای سیال به افزایش راندمان حرارتی منجر می‌شود. پس با این نحو طراحی می‌توان انرژی بر واحد سطح بیشتری به دست آورد. همانطور که در شکل (۱) مشاهده می‌شود یک سلول فتوولتائیک-حرارتی از چند لایه با روش تکنولوژی Thin Film تشکیل شده است که لایه‌اول مربوط به پوشش شیشه‌ای، لایه‌ی دوم EVA یک لایه پلاستیکی حاوی اتیلن و بنیل استات است که سلول‌های فتوولتائیک را در محفظه‌ای قرار می‌دهد.

لایه‌ی سوم شامل سلول سیلیکونی، لایه‌ی چهارم باز فیلم نازکی از EVA، است. لایه‌ی پنجم به نام لایه Tedlar یا ورق پشت فتوولتائیک که نقش محافظت مازول PV از اشعه UV، رطوبت و خوردگی را دارد. همچنین به عنوان یک عایق الکتریکی محسوب می‌شود. لایه‌های بعدی شامل قاب آلومینومی و مجموعه کلکتورها است.

۳- معادلات بقای انرژی

برای نوشتن معادلات بقای انرژی اجزای مختلف سیستم فتوولتائیک-حرارتی، المانی دیفرانسیلی به طول dx و به عرض b و به فاصله X از طول ورودی در نظر می‌گیریم. فرضیات مورد استفاده برای نوشتن معادلات انرژی عبارتست از: انتقال حرارت غیر دائم و یک بعدی، صرف نظر کردن از گرمای ویژه همه اجزا به جز سیال داخل کانال‌ها، یکسان در نظر گرفتن ضریب انتقال حرارت جابجایی میان سیال داخل کانال‌ها با پانل فتوولتائیک، لکتور حرارتی و جداره عایق و در نهایت تنوع درجه حرارت در طول ضخامت ناچیز گرفته می‌شود. با در نظر گرفتن فرضیات فوق اکنون به ارائه روابط بقای انرژی برای اجزای مختلف سیستم می‌پردازیم. همانطوری که در شکل (۱) مشاهده می‌شود سلول فتوولتائیک-حرارتی شامل لایه‌های مختلف ایزولاسیون برای جلوگیری از آسیب بخش‌های مختلف تشکیل شده است.



شکل (۲): مقطع عرضی سلول فتوولتائیک-حرارتی

تعادل انرژی برای سلول فتوولتائیک برای تک تک عناصر به شرح زیر است ضمن اینکه پارامترهای هر رابطه به ترتیب از چپ به راست توضیح داده می‌شود [۷]:

$$\tau[a_c\beta_c I(t) + a_T(1-\beta_c)I(t)]bdx = [U_t(T_c - T_a) + U_T(T_c - T_{bs})]bdx + \tau\eta_c I(t)\beta_c bdx \quad (1)$$

میزان انرژی خورشیدی دریافت شده توسط سلول‌های خورشیدی پس از تابش
میزان انرژی خورشیدی جذب شده توسط تدلار پس از انتقال از لایه اتیل وینیل استات
میزان حرارت از دست رفته از سلول‌های خورشیدی به محیط از طریق پوشنش شیشه‌ای
انتقال حرارت کلی از سلول به سطح پشت تدلار
میزان انرژی الکتریکی تولید شده از سلول‌های خورشیدی

با استفاده از معادله (۱) دمای سلول بدست می‌آید :

$$T_c = \frac{\tau[a_c\beta_c + a_T(1-\beta_c) - a_c\eta\beta_c]I(t) + U_t T_a + U_T T_{bs}}{U_t + U_T} \quad (2)$$

تعادل انرژی برای سطح پشت Tedlar به شرح زیر است [۷]:

$$U_T(T_c - T_{bs})bdx = h_T(T_{bs} - T_f)bdx \quad (3)$$

انتقال حرارت کلی از سلول به سطح پشت Tedlar
نرخ انتقال حرارت از سطح پشت Tedlar به سیال
با استفاده از معادلات (۲) و (۳) برای دمای پشت صفحه PV داریم :

$$T_{bs} = \frac{h_{p1}\tau[a_c\beta_c + a_T(1-\beta_c) - a_c\eta\beta_c]I(t) + U_{tT} T_a + h_T T_f}{U_{tT} + h_T} \quad (4)$$

تعادل انرژی برای جریان سیال به شرح زیر است [۷]:

$$h_T(T_{bs} - Tf) bdx = m_f C_f \left(\frac{dT_f}{dx} \right) dx + U_b (T_f - T_a) bdx \quad (5)$$

نرخ انتقال حرارت از سطح پشت Tedlar به سیال

جریان سیال داخل کاتال

نرخ انتقال حرارت از سیال به محیط

با انتگرال گیری از معادله (۵) و با اعمال شرایط مرزی در $x=0$ می‌توان دمای متوسط سیال را

بدست آورد [۷]:

$$\bar{T}_f = \frac{1}{L} \int_0^L T_f dx = \left[\frac{h_p h_{pv} (a\tau)_{eff} I(t)}{U_L} + T_a \right] \left[1 - \frac{m_f c_f}{\exp(-bU_L L)} \right] + T_{fi} \exp\left(\frac{-bU_L L}{m_f c_f}\right) \quad (6)$$

دما خروجی سیال نیز با اعمال شرایط مرزی $x=L$ در $T_f = T_{f0}$ طبق رابطی زیر محاسبه می‌شود [۷]:

(7)

$$T_{f0} = \left[\frac{h_p h_{pv} (a\tau)_{eff} I(t)}{U_L} + T_a \right] \left[1 - \exp\left(\frac{-bU_L L}{m_f c_f}\right) \right] + T_{fi} \exp\left(\frac{-bU_L L}{m_f c_f}\right)$$

دریافتی انرژی مفید کلکتور نیز طبق رابطی زیر بر حسب دمای ورودی و خروجی سیال صورت می‌گیرد [۷]:

$$\dot{Q}_u = m_f c_f = (T_{fi} - T_{f0}) = \frac{m_f c_f}{U_L} \left[h_p h_{pv} (a\tau)_{eff} I(t) - U_L (T_{fi} - T_{f0}) \right] \left(1 - e^{\frac{-bU_L L}{m_f c_f}} \right) \quad (8)$$

ضمن اینکه رابطه‌ی بین پارامترهای طراحی به شرح زیر است [۷]:

$$U_t = \left[\frac{L_g}{K_g} + \frac{1}{h_o} \right]$$

$$h_o = \delta / \gamma + \gamma / \lambda V, V = \gamma (ms^{-1})$$

$$U_{iT} = \frac{U_t U_T}{U_t + U_T}$$

$$U_{iT} = \frac{U_{iT} \cdot h_t}{U_{iT} + h_t}$$

$$U_L = U_{if} + U_b$$

$$h_p = \frac{U_T}{(U_t + U_T)}$$

$$h_{pv} = \frac{h_T}{(U_t + U_T)}$$

$$(a\tau)_{ef} = \tau [a_c B_c + a\tau (\gamma - \beta_c) - \eta_c \beta_c]$$

۴- تعادل انرژی

انرژی دریافتی مفید سلول فتوولتائیک-حرارتی با استفاده از معادله‌ی دافی بکمن بر حسب دمای ورودی به سلول و دمای محیط طبق رابطه زیر است [۷]:

$$Q_u = A_c F_R \left[h_{p\downarrow} h_{p\uparrow} (a\tau)_{eff} I(t) - U_L (T_f - T_a) \right] \quad (9)$$

تعادل انرژی در اصل می‌گوید که دریافتی مفید در هر زمانی برابر اختلاف بین انرژی خورشیدی جذب شده و تلفات گرمایی از کلکتور مورد نظر است. تلفات به اختلاف دمای بین صفحه کلکتور و دمای محیط و یک ضریب اختلاف گرمایی وابسته است. با در نظر گرفتن یک ضریب، یک دمای کلکتور و یک دمای محیط (یعنی اختلاف گرمایی بر واحد سطح) یک مقدار تابش برخورده برابر با تلفات وجود دارد. این مقدار تابش برخورده تراز بحرانی تابش آن کلکتور تحت آن شرایط کاری است [۸]:

$$I(t) \geq \frac{U_L (T_f - T_a)}{h_{p\downarrow} h_{p\uparrow} (a\tau)_{eff}} \quad (10)$$

۵- راندمان الکتریکی و حرارتی

راندمان الکتریکی مدول فتوولتائیک طبق رابطه (۵) تابعی از دمای آن است [۸]:

$$\eta_{el} = \eta_{ref} \left[1 - \beta_{ref} (T_c - T_a) \right] \quad (11)$$

که در آن η_{ref} بازده مازول در دمای مرجع ۲۰ درجه سلسیوس و برابر با $13/9\%$ همچنین β_{ref} ضریب دمای بازده مازول که با توجه به انتخاب پنل‌های شرکت AnfaSolar در حدود $45/0\%$ است. T_c دمای سلول و T_a دمای محیط است.

یک معیار ارزیابی عملکرد کلکتور، بازدهی کلکتور می‌باشد که به صورت نسبت دریافت مفید در طول یک مدت زمان مشخص به انرژی خورشیدی برخورده در مدت زمان مشابه است [۸]:

$$\eta_{th} = \frac{\int Q_u dt}{A_c \int G_T dt} \quad (12)$$

۶- راندمان انرژی و اگزرژی

راندمان اگزرژی طبق قانون دوم ترمودینامیکی شامل اگزرژی ورودی سیال، اگزرژی خروجی سیال و اگزرژی تلفات در سیستم است. برای انجام آنالیز اگزرژی بر روی سیستم‌های فتوولتائیک-حرارتی، راندمان‌های الکتریکی، حرارتی و مجموع مورد استفاده قرار می‌گیرند که برای سیستم مورد بررسی با استفاده از روابط زیر محاسبه می‌شوند:

$$\sum \dot{E}x_{in} - \sum \dot{E}x_{out} = \sum \dot{E}x_{dest} \quad (13)$$

$$\sum \dot{E}x_{in} - (\dot{E}x_{in} - \dot{E}x_{work}) = \dot{E}x_{dest}$$

که برای اگزرژی ورودی با توجه به شدت تابش خورشید داریم:

$$\dot{E}x_{in} = \dot{E}x_{sun} = A_s \times I(t)_s \times \left[1 - \frac{4}{3} \times \left(\frac{T_a}{T_s} \right) + \frac{1}{3} \times \left(\frac{T_a}{T_s} \right)^4 \right] \quad (14)$$

که در آن $I(t)$ شدت تابش برخورده، A_s مساحت کلکتور، T_a دمای محیط و T_s دمای خورشید که برابر $5777K$ است.

همچنین اگزرژی سیال آب گرم داخل سیستم طبق رابطه زیر محاسبه می‌شود [۹]:

$$\dot{E}x_{th} = \sum \left(1 - \frac{T_a + 273}{T_w + 273}\right) \times Q_u \quad (15)$$

$$Q_u = M_w C_w (T_w - T_a).$$

$$\dot{E}x_{work} = W = \eta \times I(t) \times A_s \quad (16)$$

که برای این روابط ۶ راندمان الکتریکی سلول ، M_w وزن مخزن، C_w ظرفیت سیال مخزن، T_w دمای مخزن، دمای محیط و A_s مساحت کلکتور است. برای راندمان اگزرسی سیستم داریم [۹]:

$$\eta_{ex} = 1 - \frac{\dot{E}x_{dest}}{\dot{E}x_{in}} \quad (17)$$

در این تحقیق جهت بدست آوردن راندمان انرژی یا همان راندمان کلی حرارتی و راندمان اگزرسی از دو رابطه زیر استفاده شده است [۹]:

$$\eta_{oth} = \frac{\eta}{0.38} + \eta_{th} \quad (18)$$

$$\eta_{oex} = \eta + \eta_{th} \left[1 - \frac{T_a + 237}{T_w + 237} \right] \quad (19)$$

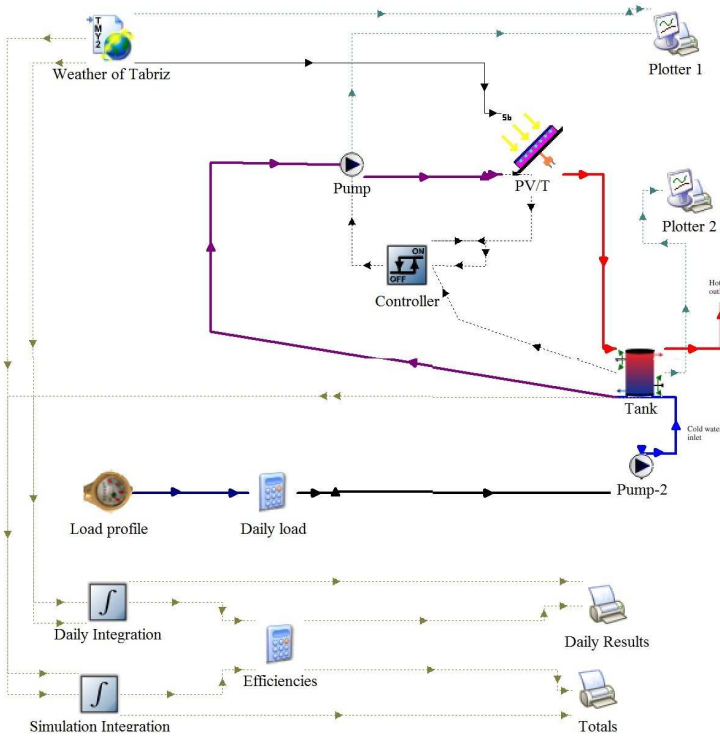
۶-مدل‌سازی سلول فتوولتائیک-حرارتی با استفاده از نرم‌افزار TRNSYS

در این بخش سیکل کاری سیستم فتوولتائیک-حرارتی، با استفاده از نرم‌افزار Trnsys مدل خود شد. مراحل انجام مدل‌سازی شامل وارد کردن اطلاعات آب و هوایی منطقه نمونه شهر تبریز، (باید توجه داشت که چون کلیه اطلاعات این نرم‌افزار اعم از دما و یا تابش به صورت ساعتی است لذا با انتگراسیون می‌توان اطلاعات روزانه و یا سالانه را بدستآورد) وارد کردن اطلاعات مربوط به سیستم فتوولتائیک-حرارتی، مخزن، پمپ و سیستم کنترل است. همچنین اطلاعات ورودی بار مصرفی باستی با تعریف یک پروفایل مصرف به صورت ساعتی وارد نرم‌افزار شود. که در صورت نیاز به بررسی وارد نرم‌افزار می‌شوند.

با توجه به مشخصات الکتریکی و حرارتی سلول فتوولتائیک-حرارتی کلیه اطلاعات مربوط به ساختارپنلهای پایی کریستالی ۲۳۰ واتی ساخت شرکت Anafsolars طبق جدول (۱) وارد نرم‌افزار می‌شوند. هدف از این بخش تحلیل دمای سیال خروجی از سلول فتوولتائیک-حرارتی، دمای سلول، راندمان الکتریکی و حرارتی، همچنین تحلیل اگزرسی سیستم با توجه به شرایط آب و هوایی اقلیم سردسیر تبریز است در سیستم کنترل به دو سنسور دما نیاز است که یک سنسور در پایین واحد ذخیره و یکی در محل خروجی سیال از کلکتور نصب شود. زمانیکه دمای خروجی سیال از سلول فتوولتائیک-حرارتی از دمای متوسط مخزن بیشتر باشد پمپ روشن است در غیر این صورت خاموش است. خاموش و روشن شدن پیوسته پمپ هنگام صبح ممکن است به وقوع بپیوندد. زیرا سیال درون پمپ یا کانال‌های بین واحد ذخیره و کلکتور از دمای پایین مخزن خنک‌تر خواهد بود در نتیجه زمانیکه پمپ روشن می‌شود مایع سرد وارد سلول فتوولتائیک-حرارتی شده که کنترل کننده پمپ را خاموش می‌کند تا وقتی که مایع درون کلکتور تا دمای مناسب گرم شود یا تابش برخوردی بیشتر از تراز بحرانی تابش شود، مجدداً پمپ را روشن می‌کند. شکل (۳) مدل طراحی سیکل را نمایان می‌کند. که شامل یک عدد سلول‌های فتوولتائیک-حرارتی، ۲ عدد پمپ سیرکلاسیون، یک عدد کنترلر دما و یک مخزن ذخیره حرارت است. با توجه به شرایط آب و هوایی منطقه، رفتار دینامیکی سیستم برای هر ساعت از سال قابل محاسبه است. ولی در این تحقیق رفتار دینامیکی سیستم، برای مرداد ماه مورد بررسی قرار می‌گیرد.

جدول (۱): مشخصات سلول فتوولتائیک-حرارتی و مخزن

علایم	مقدار	واحد	پارامترهای طراحی برای سلول فتوولتائیک-حرارتی و مخزن
α_c	۰/۹		ضریب جذب سلول فتوولتائیک
α_T	۰/۵		ضریب جذب لایه‌ی تدلاز
τ	۰/۹۵		ضریب عبور
β	۰/۰۰۴۵		ضریب دمایی سلول فتوولتائیک
β_c	۰/۹		فاکتور سستبدی سلول فتوولتائیک
h_{p1}	۰/۸۷		فاکتور پنالتی مربوط به پوشش شیشه‌ای مازول
h_{p2}	۰/۹۸		فاکتور پنالتی مربوط به لایه‌ی تدلاز مازول
η_{ref}	% ۱۳/۹		راندمان الکتریکی پانل فتوولتائیک در دمای مرجع
L	۱/۶	m	طول سیستم
b	۱	m	عرض سیستم
D	۰/۰۵	m	قطر کanal سیال
n	۱۹		تعداد کانال‌ها
A_c	۱/۴۶	m^2	مساحت کلکتور
m	۰/۰۲	kg / s	دبی جرمی سیال
P_{max}	۲۳۰	W	ماکریم توان خروجی
c_f	۴/۱۹	KJ / Kg.K	ظرفیت گرمای ویژه سیال
C_w	۴/۱۹	KJ / Kg.K	ظرفیت گرمای ویژه مخزن
$(UA)_s$	۱۱/۱	W / K	حاصلضرب سطح در ضریب انتقال مخزن
h_0	۱۰	W / m^2K	ضریب انتقال حرارت باد
h_f	۵۰۰	W / m^2K	ضریب انتقال حرارت داخلی لوله
l_G	۰/۰۰۳	m	ضخامت پوشش شیشه‌ای
l_c	۰/۰۰۰۳	m	ضخامت سلول فتوولتائیک
l_T	۰/۰۰۵	m	ضخامت لایه‌ی تدلاز
K_G	۱	W / mK	ضریب هدایت حرارتی پوشش شیشه‌ای
K_c	۰/۰۳۹	W / mK	ضریب هدایت حرارتی سلول فتوولتائیک
K_T	۰.۰۳۳	W / mK	ضریب هدایت حرارتی لایه‌ی تدلاز
U_b	۰/۶۲	W / m^2K	ضریب تلفات از عایق به محیط اطراف
U_t	۹/۲۴	W / m^2K	ضریب تلفات از سلول فتوولتائیک به محیط از طریق شیشه
U_{tT}	۸/۱	W / m^2K	ضریب انتقال حرارت کلی از پوشش شیشه‌ای تا تدلاز توسط سلول فتوولتائیک
U_T	۶۵	W / m^2K	ضریب انتقال حرارت سلول فتوولتائیک به سیال نوسط لایه‌ی تدلاز
h_T	۶۶	W / m^2K	ضریب انتقال حرارت از صفحه‌ی پشت تا سیال توسط لایه‌ی تدلاز
$I(t)$	متغیر	W / m^2	شدت تابش ورودی
T_a	متغیر	°C	دماهی محیط
T_c	متغیر	°C	دماهی سلول
T_{fo}	متغیر	°C	دماهی سیال خروجی
T_{fi}	متغیر	°C	دماهی سیال ورودی



شکل (۳): طراحی سیکل توسط نرم افزار Trnsys

۶-۱- محاسبه میزان تشعشع خورشید

با استفاده از مدل پخش همسانگرد کل شار تشعشعی که به یک سطح شیبدار برای یک ساعت می‌رسد شامل سه بخش تابش مستقیم، تابش پخشی و تابش بازتابی است [۸]:

$$I_T = I_b R_b + I_d \left(\frac{1 + \cos \beta}{2} \right) + I \rho_g \left(\frac{1 - \cos \beta}{2} \right) \quad (20)$$

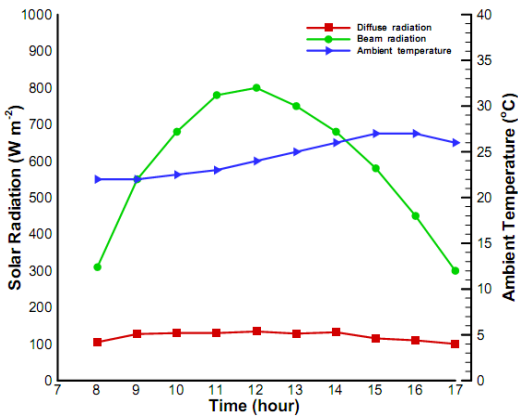
مجموعه تابش پخشی از آسمان و تابش بازتابی زمین روی سطح شیبدار، بدون توجه به جهت، یکسان می‌باشند سهم تابش مستقیم به عنوان $I_b R_b$ است. در واقع یک سطح با شیب β نسبت به افق دارای فاکتور دیدی به آسمان به صورت $\left(\frac{1 + \cos \beta}{2} \right)$ است، که اگر تابش پخشی همسانگرد باشد عبارت $\left(I_d \left(\frac{1 + \cos \beta}{2} \right) \right)$ سهم تابش پخشی خواهد بود. سطح شیبدار دارای دیدی به زمین $\left(\frac{1 - \cos \beta}{2} \right)$ بوده و اگر محیط اطراف دارای یک ضریب

بازتابش ρ_g برای تابش کل خورشیدی باشد تابش بازتابی از محیط اطراف به روی سطح برابر $\left(I \rho_g \left(\frac{1 - \cos \beta}{2} \right) \right)$ خواهد بود. ضریب انعکاس زمین اطراف است که صفحه گیرنده آن را می‌بیند. معمولاً ρ_g مقدار کوچک است، برای روزهای معمولی $\rho_g = 0/2$ و برای حالتی که مقابل صفحه گیرنده آب یا برف باشد، $\rho_g = 0/7$ انتخاب می‌گردد. که در این مقاله $0/5$ در نظر گرفته شده است. همچنان R_b نسبت تابش مستقیم روی سطح شیبدار به تابش مستقیم روی سطح افقی برابر با [۸]:

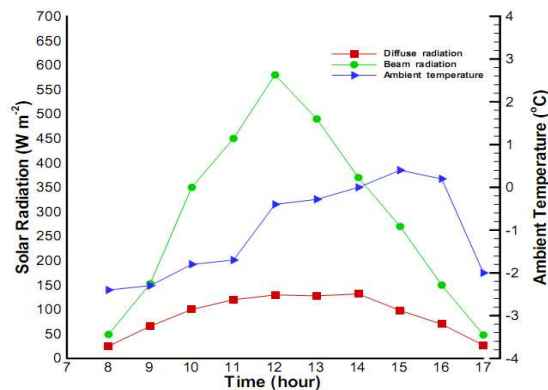
$$R_b = \frac{\cos(\phi - \beta) \cos \delta \cos \omega + \sin(\phi - \beta) \sin \delta}{\cos \phi \cos \delta \cos \omega + \sin \phi \sin \delta} \quad (21)$$

که در رابطه مذبور، ϕ عرض جغرافیایی بوده و برابر با 38 درجه، δ زاویه میل و β زاویه شیب پنل‌ها نسبت به سطح افق است. با توجه به روابط اشاره شده میزان تشعشع خورشیدی عمود تابیده شده بر سطوح پنل‌ها با زاویه

نصب فصلی برای ۸۷۶۰ ساعت از سال توسط نرم افزار Trnsys محاسبه شده است. به عنوان مثال در شکل های (۴) و (۵) میزان تابش مستقیم و تابش پخشی و دمای محیط برای یک روز در زمستان و تابستان رسم شده است.



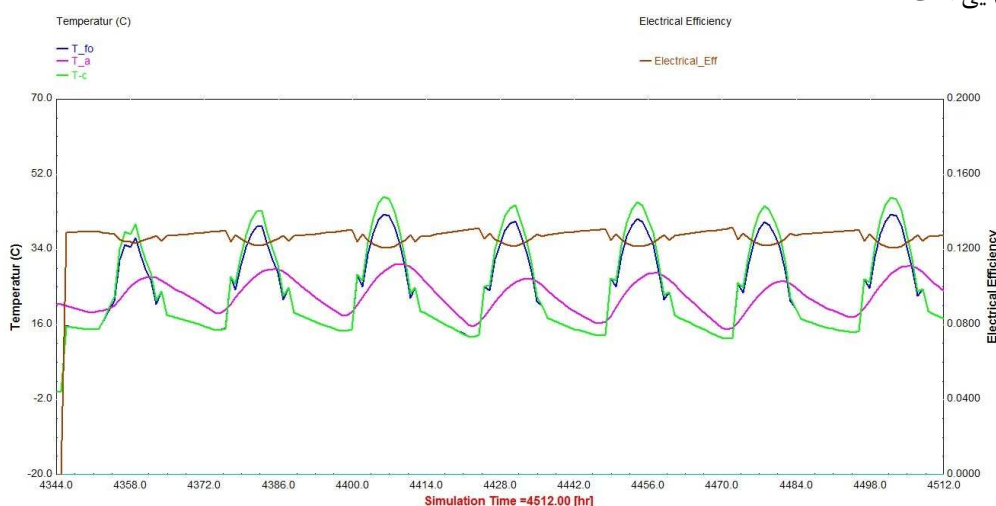
شکل (۵): تابش مستقیم ، تابش پخشی و دمای محیط
(روز اول زوالی)



شکل (۴): تابش مستقیم ، تابش پخشی و دمای محیط
(روز اول زانویه)

۶- بررسی رفتار دینامیکی سیستم

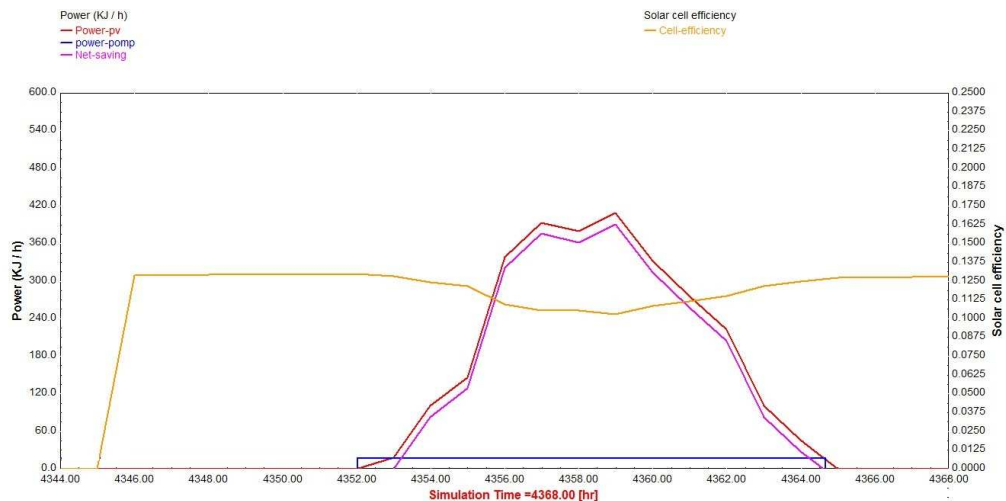
برای ارزیابی عملکرد سلول فتوولتائیک-حرارتی، دانستن ضریب تلفات کلی و ضریب داخلی انتقال حرارت سیال ضروری است. با در نظر گرفتن پارامترهای طراحی برای سلول فتوولتائیک-حرارتی و مخزن ذخیره حرارت طبق جدول (۱)، ضریب اتلاف حرارت پانل فتوولتائیک به محیط اطراف $(U_L = 7/6 \text{ Wm}^{-3} K^{-1})$ بدست می‌آید. طبق معادله (۱۱)، از جمله مشخصاتی که بر بازدهی پنل‌ها تاثیر مستقیمی می‌گذارد دمای سطح مازول است. شکل (۶) مربوط به سیستم فتوولتائیک-حرارتی است که گویای این مطلب است که با افزایش دمای محیط و دمای سلول فتوولتائیک، برای هفته اول ماه گرم سال (زوالی) راندمان الکتریکی کاهش می‌یابد. ولی برای این سلول فتوولتائیک-حرارتی به علت خنک‌کاری توسط سیال عامل آب، کاهش راندمان به نسبت خیلی کمتر از سلول فتوولتائیک به تنها است.



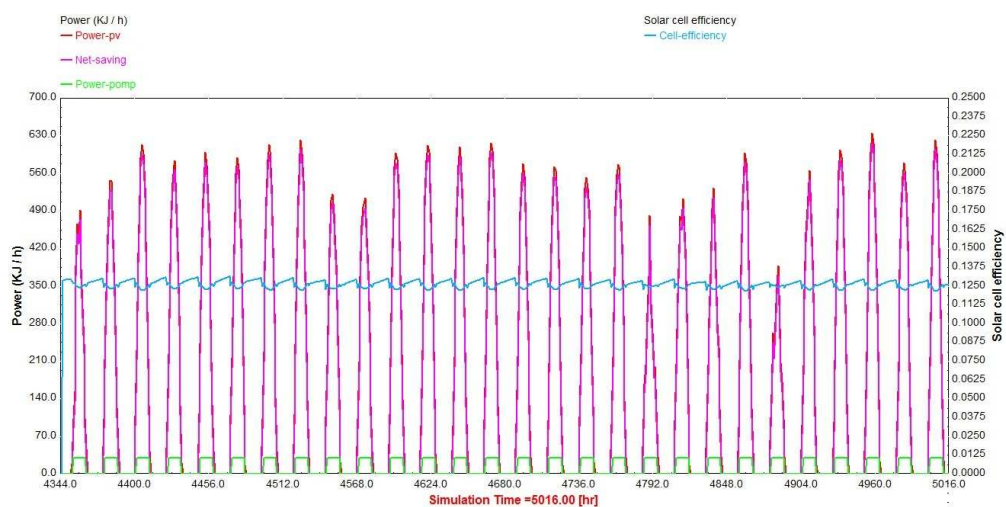
شکل (۶): افزایش دمای سلول فتوولتائیک-حرارتی با افزایش دمای محیط و کاهش راندمان الکتریک

۶-۳-بررسی توان تولیدی سلول فتوولتائیک-حرارتی

با توجه به شکل (۷) توان ساعتی تولیدی سلول فتوولتائیک-حرارتی (PV-Power) و توان مصرفی پمپ سیرکلاسیون بین سلول فتوولتائیک-حرارتی و مخزن (Pomp Power)، همچنین توان خالص تولیدی (Net saving) برای روز اول ژولای قابل مشاهده است. با توجه به کارکرد پمپ از ساعت ۸ الی ۱۸، نتایج حاکی از آن است که توان تولیدی سلول با افزایش شدت تابش برخوردي بین ساعات ۱ الی ۲ ظهر افزایش قابل چشمگیری دارد. هر چند راندمان الکتریکی با توجه به افزایش دما، کاهش می‌یابد ولی توان تولیدی همچنان در حالت ماکزیمم خود قرار دارد. همچنین نتایج مربوط به توان خالص تولیدی برای ماه ژولای در شکل (۸) قابل مشاهده است.



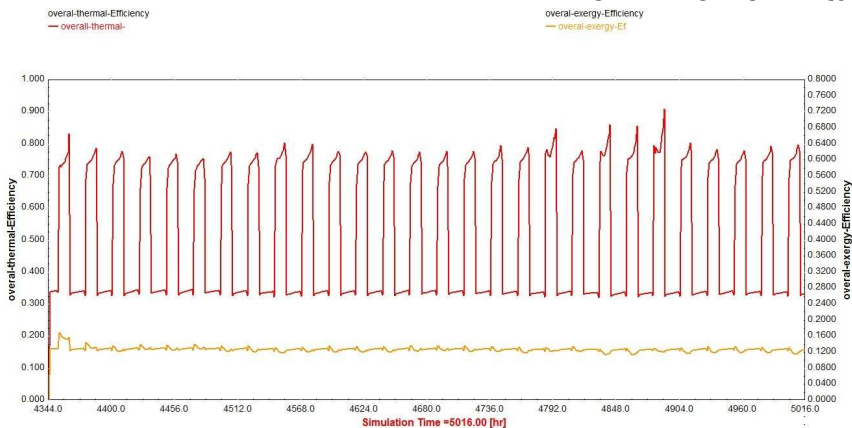
شکل (۷): توان تولیدی سلول، توان مصرفی پمپ و توان خالص تولیدی برای روز اول ژولای



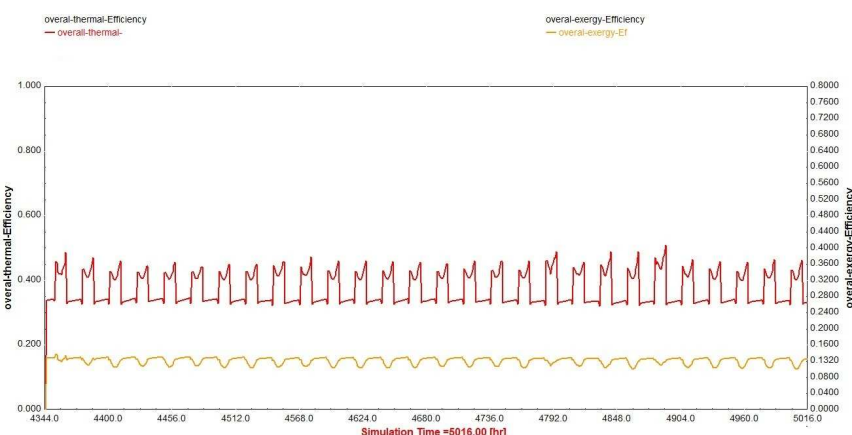
شکل (۸) : توان تولیدی سلول، توان مصرفی پمپ و توان خالص تولیدی برای ماه ژولای

۶-۴-بررسی طول سلول فتوولتائیک-حرارتی در راندمان کلی انرژی و اگزرژی

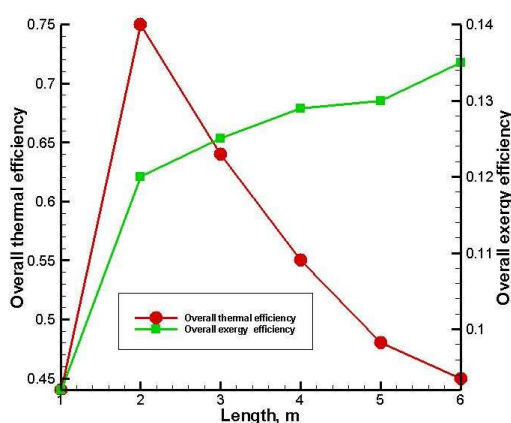
همانطور که در شکل های (۹) و (۱۰) مشاهده می شود با افزایش طول سلول فتوولتائیک-حرارتی، راندمان حرارتی کاهش اما راندمان اگزرژی با توجه به رابطه (۱۹) افزایش می یابد. نقطه بهینه در $L=2$ متر برای سلول فتوولتائیک-حرارتی همانطوری که در شکل (۱۱) قابل مشاهده است، بدست آمد.



شکل (۹): راندمان کلی انرژی و اگزرژی برای سلول فتوولتائیک-حرارتی با طول ۱.۶ متر



شکل (۱۰): راندمان کلی انرژی و اگزرژی برای سلول فتوولتائیک-حرارتی با طول ۶ متر

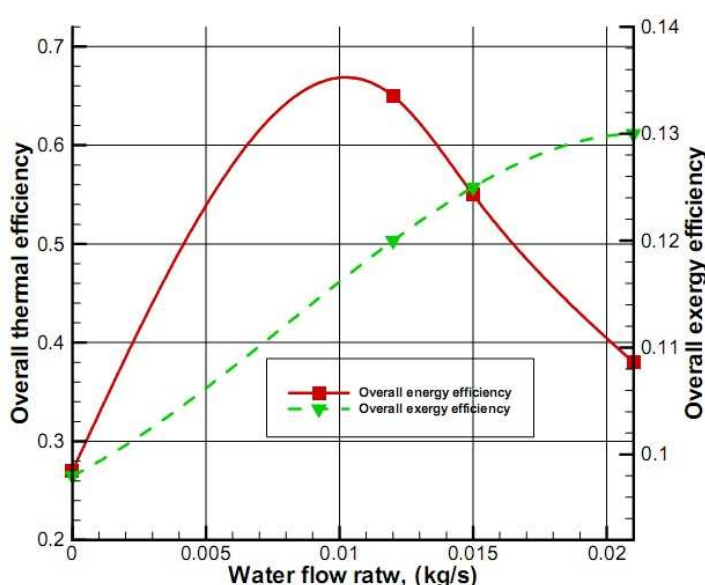


شکل (۱۱): اثر طول سلول فتوولتائیک-حرارتی بر راندمان کلی انرژی و اگزرژی

۶-۵-بررسی دبی سیال در راندمان کلی انرژی و اگزرژی

در این قسمت اثرات افزایش دبی سیال بر راندمان کلی انرژی و اگزرژی بررسی می‌شود. همانطوری که در شکل (۱۲) مشاهده می‌کنیم با افزایش دبی سیال راندمان اگزرژی افزایش ولی راندمان کلی انرژی برعکس آن کاهش می‌یابد، راندمان کلی انرژی در ماکریم مقدار خود $m = 0.01\text{kg/s}$ دارد. لذا حالت بهینه را در

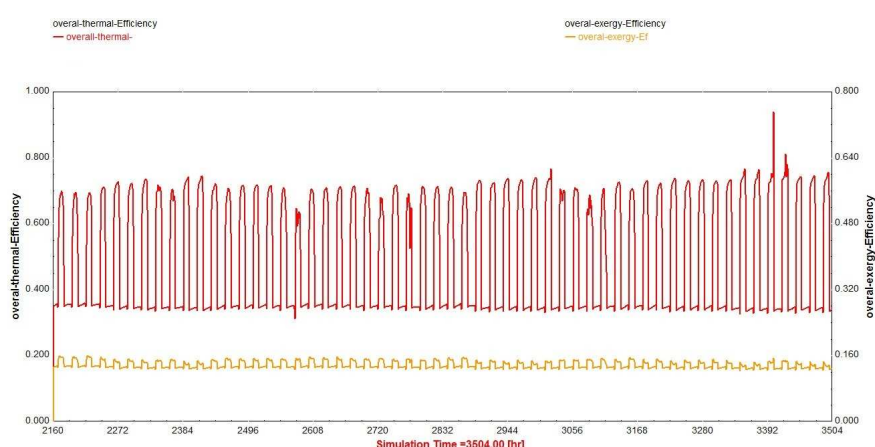
$$m = 0.01\text{kg/s} \text{ انتخاب می‌کنیم.}$$



شکل (۱۲): اثر افزایش دبی بر راندمان کلی انرژی و اگزرژی

۶-۶-محاسبه راندمان انرژی و اگزرژی برای سیستم مورد نظر

راندمان سیستم‌های فتوولتائیک-حرارتی را به دو صورت انرژی و اگزرژی مورد بررسی قرار گرفت. برای ۶ ماهه اول، راندمان انرژی حدود ۳۵ الی ۷۰ درصد و راندمان اگزرژی را حدود ۱۱ الی ۱۳ درصد بدست آمد.



شکل (۱۲): راندمان کلی انرژی و اگزرژی برای ۶ ماه اول بهار و تابستان

۷- نتیجه‌گیری

در این تحقیق با مدل‌سازی یک سیستم فتوولتائیک-حرارتی با استفاده از نرم افزار TRANSYS رفتار دینامیکی دمای سیال خروجی از سلول فتوولتائیک-حرارتی، دمای سلول، بازده الکتریکی، بازده حرارتی تحلیل شده و عوامل موثر بر افزایش راندمان انرژی و اگزرژی بررسی شد. نتایج حاصل از تغییرات دبی سیال نشان داد که حالت بهینه دبی سیال وقتی راندمان انرژی و اگزرژی بیشترین مقدار خود را دارد در $m = 0.01 \text{ kg/s}$ صورت می‌گیرد. همچنین با افزایش طول سلول فتوولتائیک-حرارتی راندمان انرژی کاهش ولی راندمان اگزرژی افزایش می‌یابد. که $L = 2m$ به عنوان طول بهینه در نظر گرفته شد. مدل‌سازی برای گرم‌ترین روز سال و ماه نشان داد توان تولیدی سلول فتوولتائیک-حرارتی با شدت تابش خورشیدی رابطه مستقیم دارد و نزدیک ظهر توان تولیدی به ۱۸۰ وات می‌رسد. راندمان سیستم‌های فتوولتائیک-حرارتی را به دو صورت انرژی و اگزرژی مورد بررسی قرار گرفت. راندمان انرژی را حدود ۳۵ الی ۷۰ درصد و راندمان اگزرژی را حدود ۱۱ الی ۱۳ درصد بدست آمد.

مراجع:

- [1]- New Energy and Industrial Technology Development Organiza,ion (NEDO)., 2004, Overview of "PV Roadmap Toward 2030". Japan, Tokyo.
- [2]- Kern. C., Russell. M.C., 1978. "Combined Photovoltaic and Thermal Hybrid Collector Systems." In Proceedings of the 13th IEEE PV Specialist Conference, Washington, DC. 5–8. p. 1153–7.
- [3]- Bazilian. M, Prasad, D., 2002. "Modelling of a Photovoltaic Heat Recovery System and its Role in a Design Decision Support Tool for Building Professionals." Renewable Energy 27, 57-68.
- [4]- Joshi .A, Tiwari. A., 2007. "Energy and Exergy Efficiencies of a Hybrid Photovoltaic- Thermal Air Collectors." Renewable Energy 32, 2223–2241.
- [5]- Teo .H.G., Lee . P.S., M.N.A. Hawlader,2012 , "An active cooling system for photovoltaic modules", Applied Energy 90 .309–315.
- [6]- Rey.D., Manuel.B, Francisco.C, Fernandez.A,2009. "Solar mixed thermal and photovoltaic installation for an infantile educational-sanitary lodging in Senkata-El Alto (BOLIVIA) ." International Conference on Renewable Energies and Power Quality (ICREPQ'09)
- [7]- S.,Agraval, G.,Tiwari ,2011, "Performance evaluation of hybrid modified micro-channel solar cellthermal tile ",Vol. 3, No. 1, 2011, pp. 244-254.
- [8]- Duffie. J. A, Beckman. W. A, Solar Engineering of Thermal Processes Wiley, Interscience, University of Wisconsin-Madison, 1980.
- [9]- Hepbasli A. Exergetic modelling and assessment of solar assisted domestic hot water tank integrated ground-source heat pump systems for residences. Energy Build 2007;39:1211–7.

Energy and exergy analysis of Thermal-photovoltaic cells with TRANSYS modeling and factors of affecting their

Elgar athari ¹, Farshad Torabi ², Ahmad Tavasoli

1–elgar.athari@gmail.com

2–ftorabi@kntu.ac.ir

Abstract

Performance of Thermal-photovoltaic cells affected by various parameters such as temperature. Also evaluate the performance of Thermal-photovoltaic cells, it's essential to know the overall losses rate that is dependent on weather conditions. In this study with modeling of the Thermal- photovoltaic system with TRANSYS Software, the Dynamic outlet fluid temperature of Thermal-photovoltaic cells, cell temperature, electrical efficiency, thermal efficiency and exergy analysis and factors influencing energy efficiency will be investigated.

Results showed that the optimal flow rate $m = 0.01\text{kg/s}$ occurs when the energy and exergy efficiency has its maximum value. Also with increasing the length's of Thermal-photovoltaic cell, energy efficiency reduces while the thermal exergy efficiency increases. So considered $L = 2m$ as the optimal length. Modeling the warmest day, showed the generated power of photovoltaic cells has a direct relationship with Thermal solar radiation intensity, And 180 watts can be produced at noon. The efficiency of thermal photovoltaic systems are investigated in two ways, energy and exergy. Approximately reach %35 to %70 energy efficiency and exergy efficiency of about %11 to %13 respectively.

Keywords: Thermal-Photovoltaic cell , energy balance, heat transfer coefficients, energy and exergy efficiency